

Eucampia zodiacus

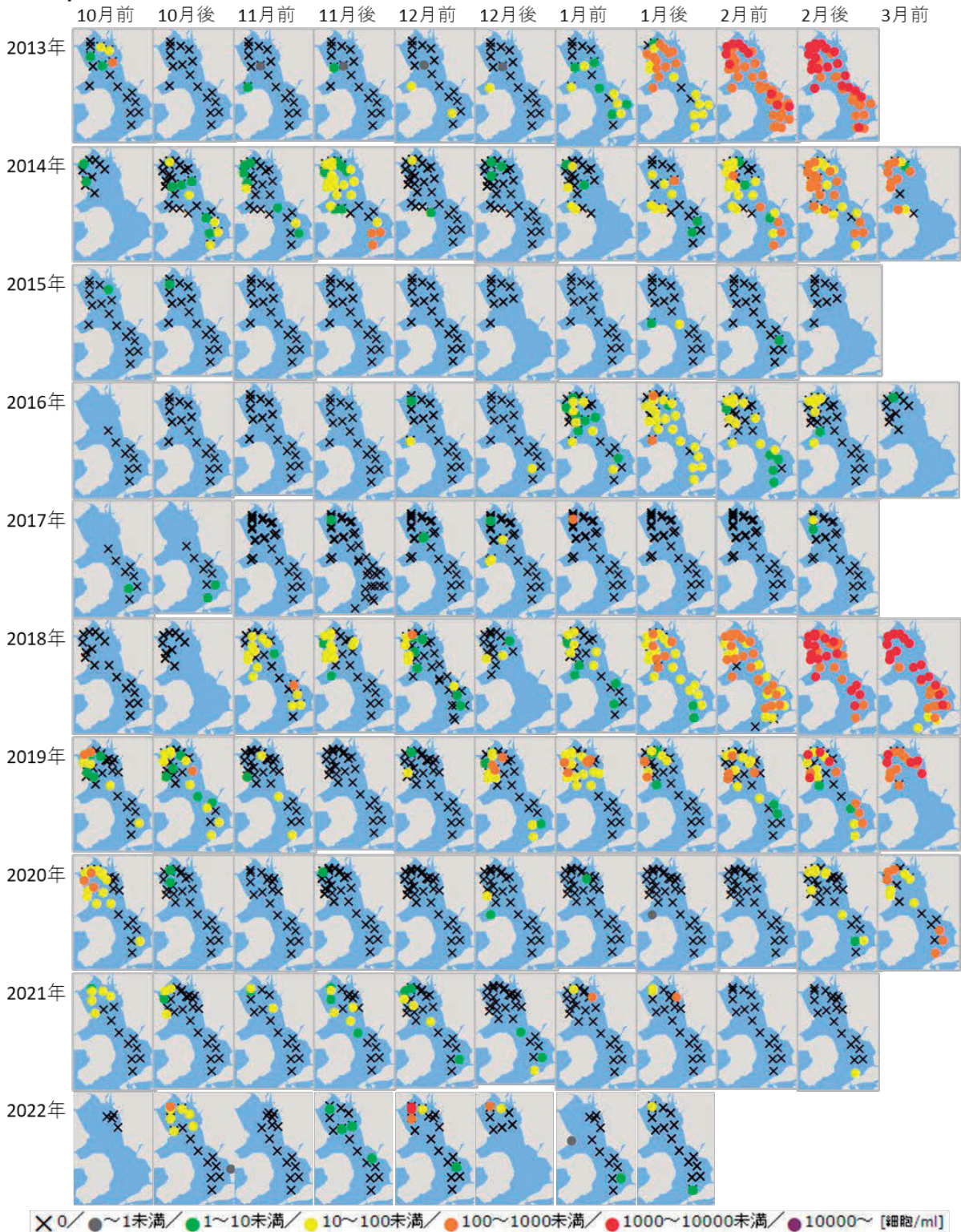


図 15 2013 年度から 2022 年度の秋季から冬季における各定点の各月前半・後半の *Eucampia zodiacus* の最高細胞密度 (赤潮ネット「赤潮分布情報」の分布図より作成。本事業以外による各県の調査データが含まれる)

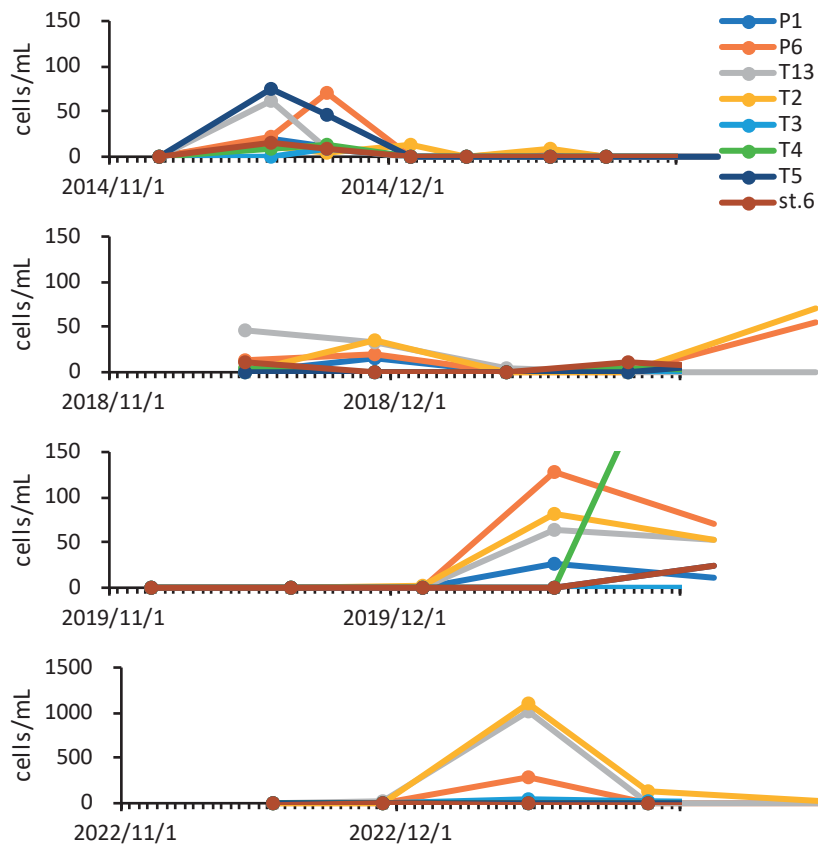


図 16 2014 年度，2018 年度，2019 年度，2022 年度の 11 月から 12 月における奥部海域各定点の *Eucampia zodiacus* 細胞密度の変化

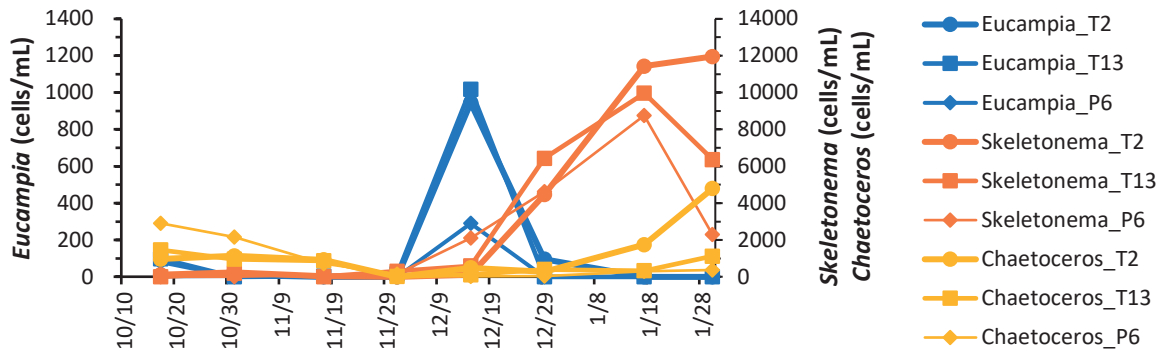


図 17 2022 年 10 月から 2023 年 1 月の Stn. T2, T13, P6 における *Eucampia zodiacus*, *Skeletonema* spp., *Chaetoceros* spp. の細胞密度の変化

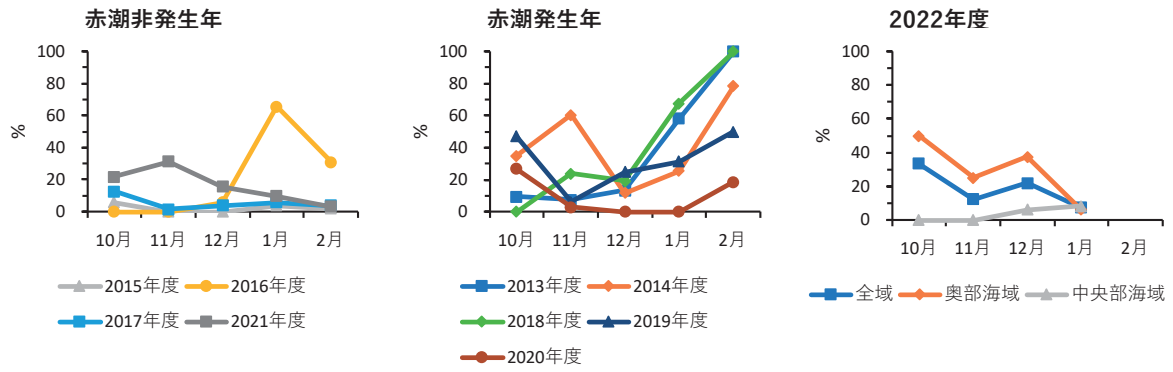


図 18 2013 年度から 2021 年度の *Eucampia zodiacus* による赤潮の非発生年，発生年，2022 年度の 10 月から 2 月（2022 年度は 1 月まで）の全域（2022 年度は全域と奥部・中央部海域別）における各月の細胞出現率の変化

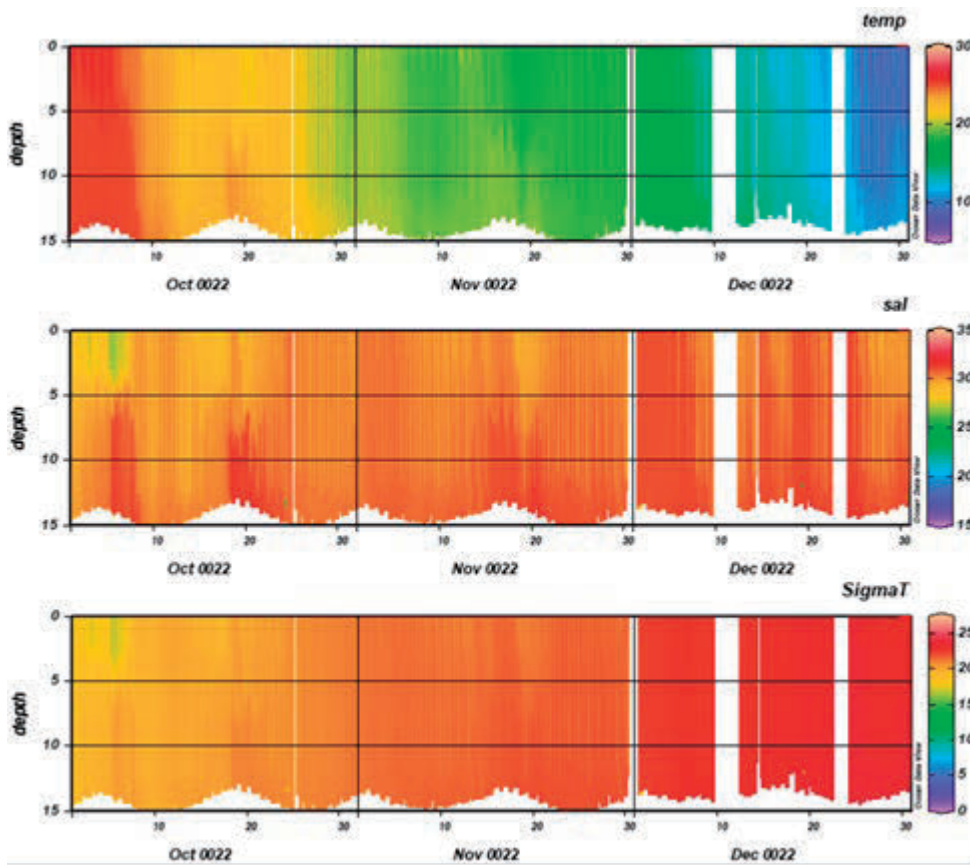


図 19 2022 年 10 月から 12 月の Stn. P6 における水温 (°C) (上段)，塩分 (中段)，海水密度 (σ_t) (下段) の鉛直分布の時系列変化

Asteroplanus karianus

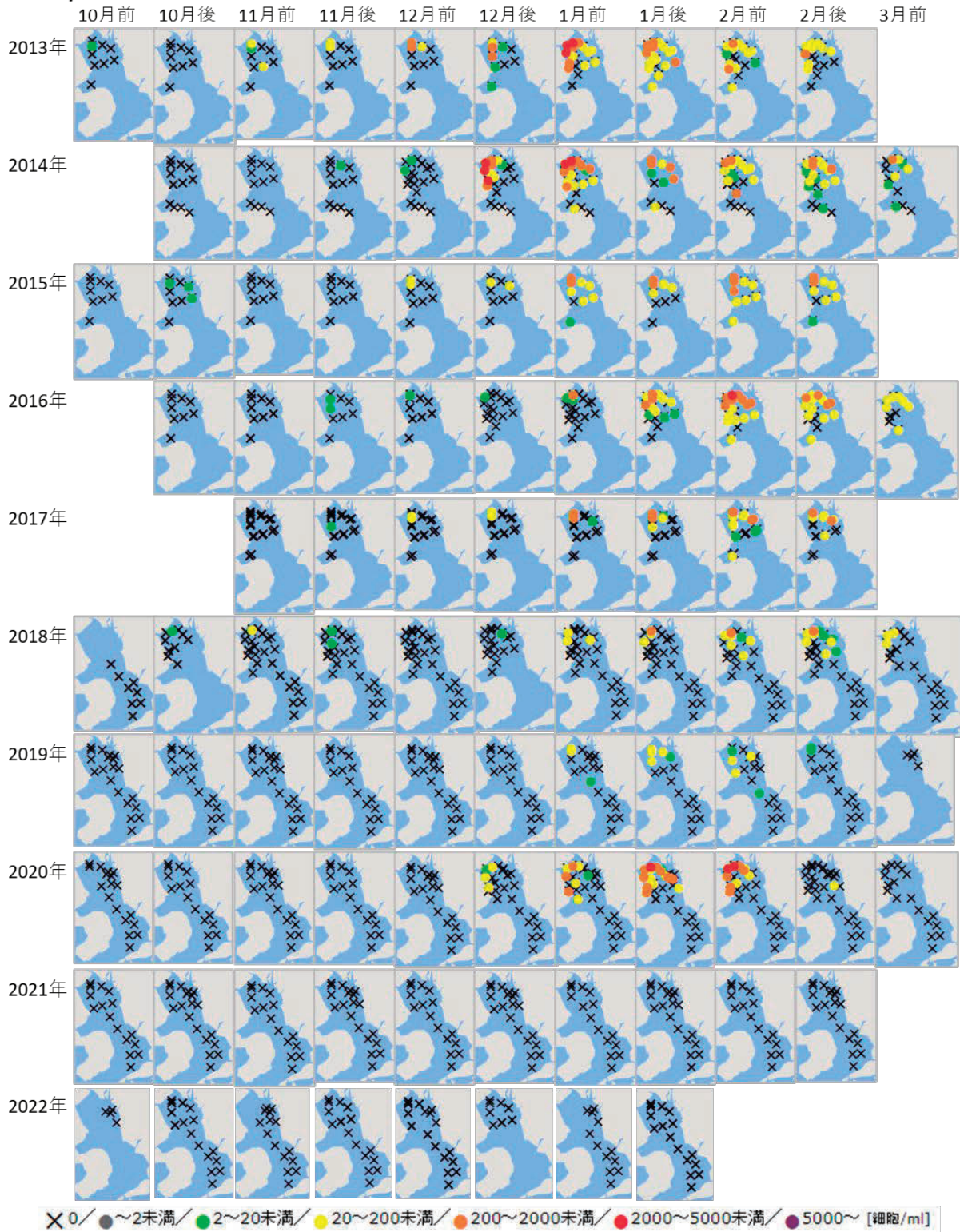


図 20 2013 年度から 2022 年度の秋季から冬季における各定点の各月前半・後半の *Asteroplanus karianus* の最高細胞密度（赤潮ネット「赤潮分布情報」の分布図より作成。本事業以外による各県の調査データが含まれる）